

## МАТЕМАТИЧНЕ МОДЕЛЮВАННЯ ТЕПЛОВИХ ПРОЦЕСІВ ПОВЕРХНЕВОГО ЗМІЦНЕННЯ ДВОШАРОВИХ ЕЛЕМЕНТІВ КОНСТРУКЦІЙ

*Представлена математична модель теплового процесу поверхневого зміцнення двошарового тіла в вигляді системи гіперболічних рівнянь теплопровідності. Структурним методом, оснований на інтегральному перетворенні Лапласа, отримано розв'язок задачі нестационарної теплопровідності для двошарового тіла. Приведені результати числових параметричних досліджень.*

*Ключові слова: гіперболічне рівняння теплопровідності, поверхнєве зміцнення, структурний розв'язок.*

### Постановка проблеми

Характерною особливістю сучасних технологій виготовлення виробів є забезпечення не тільки високої точності, технологічності, а також і забезпечення необхідної довговічності деталей, які оброблюються при експлуатації. Цим вимогам в значній мірі відповідають нові технологічні процеси, які мають назву імпульсні технології, що дозволяють збільшити ефективність використання ресурсів та знизити матеріаломісткість виробництва. Цими технологіями досягається збільшення зносостійкості, динамічної міцності виробу [1, 2].

Суть багатьох імпульсних технологічних процесів зміцнення в тому, що на відносно невеликий об'єм металу діють імпульсно (з великими швидкостями) потоками енергії високої інтенсивності одночасно деформуючи і швидко охолоджуючи метал за рахунок відводу тепла в глиб матеріалу. Такі умови обробки дозволяють отримати достатньо цінні фізико механічні, електрохімічні, корозійні та експлуатаційні характеристики. Фізична суть процесу поверхневого зміцнення заснована на зміні структури матеріалу в поверхневому шарі у зв'язку з досягненням температури структурних та фазових перетворень [2].

### Аналіз публікацій по темі дослідження

В роботі [1, 2] показана актуальність проблеми поверхневого зміцнення металів, представлені експериментальні методи дослідження даної проблеми. Обчислювальні експерименти наведені в роботах [3 – 6]. В роботах [3, 5] проаналізовано дія синусоїдального теплового імпульсу на різні метали. В роботі [4] розглянуті математичні моделі процесів теплопровідності в багат шарових системах, на основі гіперболічних рівнянь.

### Формулювання цілей статті

Метою даної роботи є побудова математичної моделі теплового процесу поверхневого зміцнення двошарових елементів конструкцій та розробка обчислювального методу дослідження температурних полів.

### Основна частина

Розглянемо математичну модель задачі нестационарної теплопровідності для двошарового тіла. Для кожного шару прийнята локальна система координат:  $0 < x_1 < R_1$ ,  $0 < x_2 < R_2$ . Система гіперболічних рівнянь теплопровідності для двошарового тіла має вигляд:

$$\beta_v \frac{\partial^2 \Theta_v(x, Fo)}{\partial x^2} = \frac{\partial \Theta_v(x, Fo)}{\partial Fo} + Fo_{r,v} \frac{\partial^2 \Theta_v(x, Fo)}{\partial Fo^2} + \beta_v^* w_v(x, Fo), \quad v=1, 2, \quad (1)$$

де  $\Theta_v = \frac{T_v(x, t)}{T_0}$  – безрозмірна температура;  $T_0$  – початкова

температура;  $Fo_{r,v} = \frac{a_0 \tau_{r,v}}{R_0^2}$  – безрозмірний час релаксації теплового

потoku;  $Fo = \frac{a_0}{R_0^2} \cdot t$  – безрозмірний час;  $\beta_v = \frac{a_v}{a_0} \cdot \frac{R_0^2}{R_v^2}$ ;  $\beta_v^* = \beta_v \cdot \frac{R_v^2}{\lambda_v}$ ;

$x = \frac{x_v}{R_0}$ ;  $a_0$ ,  $R_0$  – деякі довільні сталі;  $\tau_{r,v}$  – час релаксації теплового

потoku;  $a$  – коефіцієнт температуропровідності.

Початкові умови

$$\Theta_v(x, Fo)|_{Fo=0} = \varphi_v(x), \quad \frac{\partial \Theta_v(x, Fo)}{\partial Fo}|_{Fo=0} = 0. \quad (2)$$

Зовнішні граничні умови

$$\begin{cases} \left. \frac{\partial \Theta_1(x, Fo)}{\partial x} \right|_{x=0} = \left( f_0(Fo) + Fo_{r,1} \frac{\partial f_0(Fo)}{\partial Fo} \right) \Big|_{x=0} \\ \left. \frac{\partial \Theta_2(x, Fo)}{\partial x} \right|_{x=1} = 0 \end{cases} \quad (3)$$

Якщо в рівнянні (1)  $Fo_{r,v} = 0$ , то вони переходять в систему параболічних рівнянь.

В якості умов на контакті шарів розглядаються ідеальні умови четвертого роду

$$\begin{cases} \Theta_1(x, Fo) \Big|_{x=1} = \Theta_2(x, Fo) \Big|_{x=0} \\ \left. \frac{\partial \Theta_1(x, Fo)}{\partial x} \right|_{x=1} - \lambda_{21} \left. \frac{\partial \Theta_2(x, Fo)}{\partial x} \right|_{x=0} = 0 \end{cases} \quad (4)$$

де  $f_0(Fo)$  – нестационарний тепловий потік.

Застосовуючи до задачі (1) – (4) операційний метод перетворення Лапласа, розв'язок задачі в зображеннях має вигляд

$$\bar{\Theta}_v(x, p) = A_v ch(\gamma_v \cdot x) + B_v sh(\gamma_v \cdot x) + \bar{z}_v^*(x, p)$$

де  $\gamma_v = \sqrt{p(p \cdot Fo_{r,v} + 1)}$ ,  $A_v$ ,  $B_v$  – константи інтегрування, які знаходяться із початкових, граничних умов та умов контакту(2) – (4):

$$A_1 = \frac{\bar{g}_4(p) + \bar{g}_3(p) \frac{sh\gamma_2}{\lambda_{21}} + \bar{g}_2(p) \gamma_2 ch\gamma_2 + \bar{g}_1(p) \rho_3(1)}{l_3(1)},$$

$$B_1 = \frac{\bar{g}_1(p)}{\gamma_1},$$

$$A_2 = \left[ \bar{g}_4(p) + \bar{g}_3(p) \frac{sh\gamma_2}{\lambda_{21}} + \bar{g}_2(p) (\gamma_2 ch\gamma_2 + l_3(1)) + \bar{g}_1(p) (\rho_3(1) + l_3(1) sh\gamma_1) \right] \frac{ch\gamma_1}{l_3(1)},$$

$$B_2 = \left[ \bar{g}_4(p) + \bar{g}_3(p) \left( \frac{sh\gamma_2}{\lambda_{21}} + l_3(1) \right) + \bar{g}_2(p) \gamma_2 ch\gamma_2 + \bar{g}_1(p) (\rho_3(1) + \gamma_1 sh\gamma_1 l_3(1)) \right] \frac{\gamma_1 sh\gamma_1}{l_3(1) \lambda_{21} \gamma_2}$$

Компоненти дії, які входять до констант інтегрування включають в собі нестационарні граничні умови, нерівномірний розподіл початкової температури, а також внутрішні джерела тепла, мають вигляд:

$$\bar{g}_1(p) = \bar{f}_0(p) - \bar{z}_1^*(0, p), \quad \bar{g}_2(p) = \bar{z}_1^*(1, p) - \bar{z}_2^*(0, p),$$

$$\bar{g}_3(p) = \frac{\bar{z}_1^*(1, p)}{\lambda_{21} \cdot \gamma_2} - \frac{\bar{z}_2^*(0, p)}{\gamma_2},$$

$$\bar{g}_4(p) = \bar{z}_2^*(1, p);$$

Враховуючи те, що внутрішні джерела тепла відсутні  $w_v(x, Fo) = 0$  маємо  $\bar{z}_v^*(x, p) = -(Fo_r + 1) \cdot \varphi_v(x)$ .

Розв'язок задачі з урахуванням констант інтегрування запишемо у вигляді

$$\bar{\Theta}_v(x, p) = \sum_{i=1}^4 \bar{g}_i(p) \frac{\Phi_i(x, p)}{\Psi(p)} + \bar{z}_v^*(x, p). \quad (5)$$

Використовуючи (5) при переході від зображення до оригіналу отримуємо структурний розв'язок задачі у вигляді:

$$\Theta_v(x, Fo) = \sum_{r=1}^4 \left\{ \sum_{n=0}^{\infty} \Omega_n [\mu_{n,r}^v(x, Fo_{r,v}), \varphi_n] g_r^{(n)}(Fo, Fo_{r,v}) + \right. \\ \left. + \sum_{k=1}^{\infty} \frac{g_r(p_k)}{\Psi'(\varphi_n, p_k)} \Phi [p_k, \mu_{n,r}^v(x, Fo_{r,v})] \exp(-\gamma_k^2 \cdot Fo) \right\} + z_v^*(x, Fo) \quad (6)$$

де  $z_v^*(x, Fo)$  – частковий розв'язок рівняння (1), який має вигляд:

$$z_v^*(x, Fo) = z_v^{*nap}(x, Fo) + z_v^{*zin}(x, Fo),$$

$$z_v^{*nap}(x, Fo) = - \sum_{n=0}^{\infty} \beta_v^n \frac{Fo^n}{n!} \varphi_v^{(2n)}(x),$$

$$z_v^{*zin}(x, Fo) = Fo_{r,v} \sum_{n=0}^{\infty} \beta_v^n \frac{(n+1)Fo^{n-1}}{(n-1)!} \varphi_v^{(2n)}(x).$$

$p_k$  – корні трансцендентного рівняння

$$\Psi(\varphi_n, p) = \sum_{n=0}^{\infty} \varphi_n \cdot p^n = 0;$$

$$\Phi[\mu_{n,r}^v(x), p_k] = \sum_{n=0}^{\infty} \mu_{n,r}^v(x) \cdot p^n;$$

$$\Omega_n[\mu_{n,r}^v(x), \varphi_n] = \frac{\mu_{n,r}^v(x)}{\varphi_0} - \sum_{j=0}^n \Omega_{n-j}[\mu_{n-j,r}^v(x), \varphi_{n-j}] \cdot \frac{\varphi_j}{\varphi_0};$$

$g_r(Fo, Fo_{r,v})$  – компоненти дії. Вміст функцій  $\Phi(x, p)$ ,  $\Psi(\varphi_n, p)$ ,

$l_3(1)$  наведено в роботах [3-6].

Розв'язок (6) є загальним розв'язком задачі, достовірність отриманого розв'язку показано в роботі [4].

В результаті проведених числових досліджень були отримані розподіли температурних полів при поверхневому зміцненні двошарової необмеженої пластини, яка складається із сталі та титану. Теплофізичні характеристики матеріалів приведені в таблиці 1.

Таблиця 1

Теплофізичні характеристики матеріалів

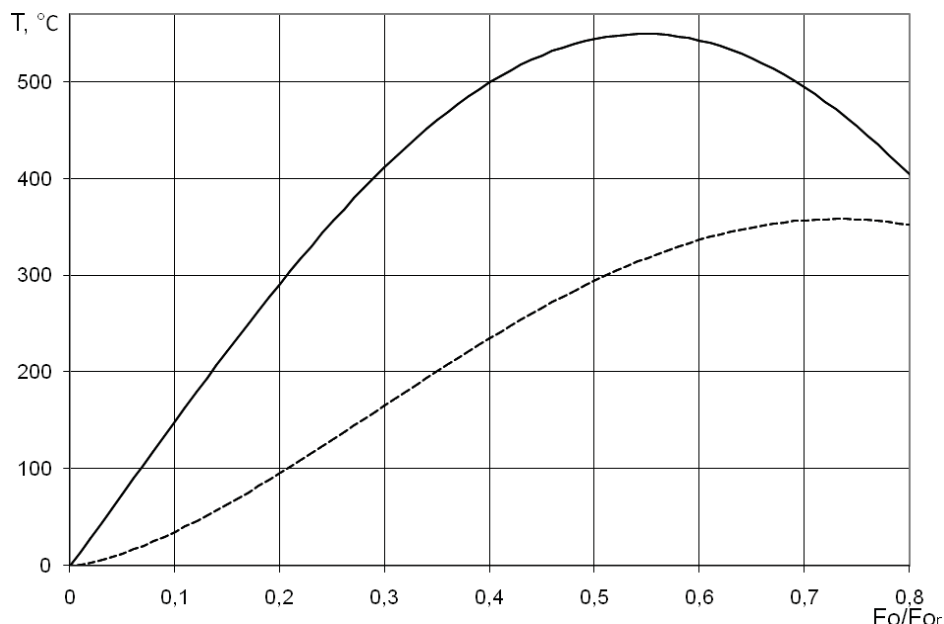
|       | $\lambda$ , (Вт/м К) | $c$ , (Дж/кг К) | $\rho$ , (кг/м <sup>3</sup> ) | товщина, (м) | $\tau_r$ , с |
|-------|----------------------|-----------------|-------------------------------|--------------|--------------|
| Ст.15 | 55                   | 565             | 7860                          | $10^{-7}$    | $10^{-11}$   |
| Титан | 17                   | 586             | 4500                          | $10^{-7}$    | $10^{-11}$   |

Граничні умови на поверхні  $x=0$  були задані у вигляді імпульсної дії параболічного та синусоїдального типу в розмірному вигляді:

$$-\frac{\partial T(x,t)}{\partial x}\Big|_{x=0} = f_0(t), f_0(t) = \begin{cases} q_{\max} t((t-iP)/P_1), t-iP \leq P_1 \\ 0, t-iP > P_1 \end{cases}$$

$$-\frac{\partial T(x,t)}{\partial x}\Big|_{x=0} = f_0(t), f_0(t) = \begin{cases} q_{\max} \sin(\pi(t-iP)/P_1), t-iP \leq P_1 \\ 0, t-iP > P_1 \end{cases}.$$

Для порівняння відмінності гіперболічного рівняння та параболічного рівняння теплопровідності на рис. 1 представлені залежності температур від часу  $Fo$  при  $x=0$ , з яких видно, що розв'язок гіперболічного рівняння та параболічного відрізняються.

Рис. 1 – Температурне поле для титану при  $x=0$ :

----- – параболічний розв'язок, ——— гіперболічний розв'язок

На рис. 2, рис. 3 представлені температурні поля для сталі (дія синусоїдального імпульсу) в момент часу  $Fo = 0,01$ , та в перерізі  $x = 0,005$ . На рис. 4, рис. 5 проілюстровано розподіл температур в перерізі  $x = 0,005$  (рис. 5); в момент часу  $Fo = 0,01$  (рис. 4) пластины із титану (дія параболічного імпульсу).

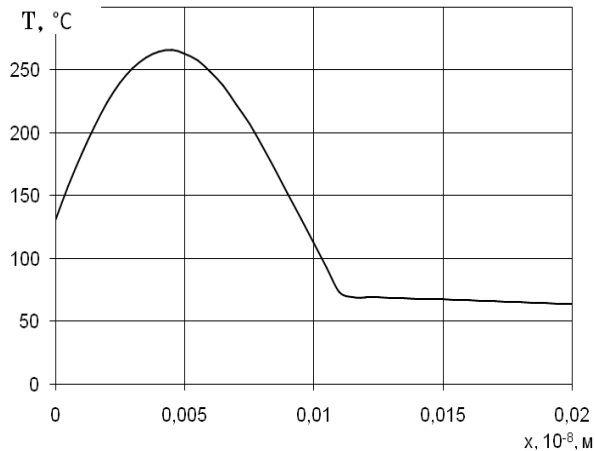


Рис. 2 – Температурне поле для Ст.15 при  $Fo = 0,01$  (синусоїдальний імпульс)

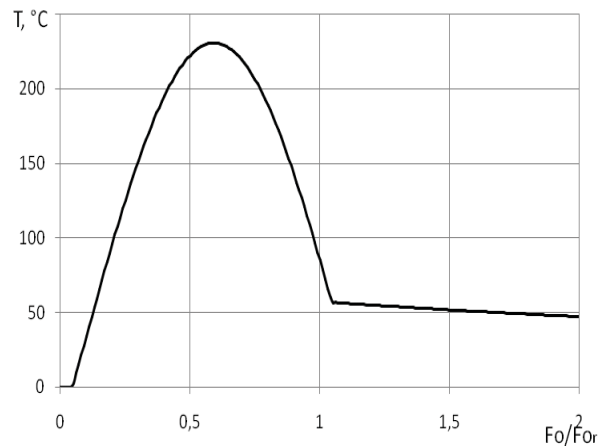


Рис – 3. Температурне поле для Ст.15 при  $x = 0,0005$  (синусоїдальний імпульс)

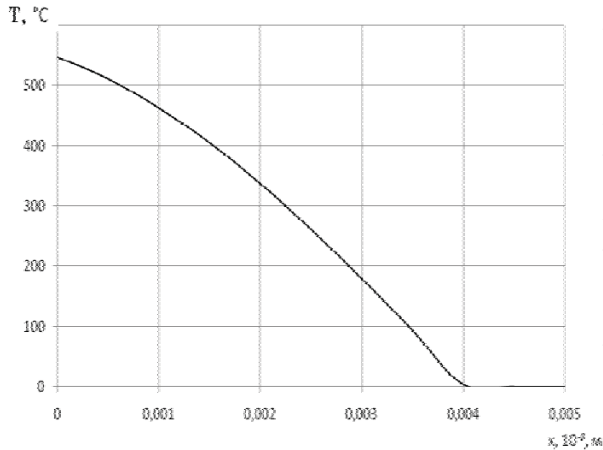


Рис. 4 – Температурне поле для титану при  $Fo = 0,01$  (параболічний імпульс)

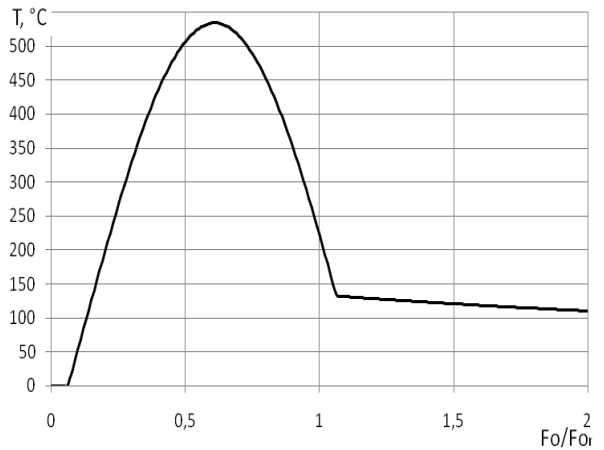


Рис. 5 – Температурне поле для титану при  $x = 0,0005$  (параболічний імпульс)

### Висновки й перспективи подальших досліджень

Математична модель теплового процесу поверхневого зміцнення двошарових елементів конструкцій, на основі системи гіперболічних рівнянь теплопровідності з нестационарними граничними умовами, дозволяє прогнозувати температурне поле поверхневого шару

елементів конструкцій при виборі технологічних режимів поверхневого зміцнення.

### ЛІТЕРАТУРА

1. Бабей Ю.И. Физические основы импульсного упрочнения стали и чугуна / Ю.И. Бабей. – Киев: Наукова думка, 1988. – 239 с.
2. Черненко В.С. Променеві методи обробки: Навчальний посібник / В.С. Черненко, М.В. Кіндрачук, О.І. Дудка. – К.: Кондор, 2008. – 166 с.
3. Веселовский В. Б. Математичне моделювання теплководності для складених тіл з урахуванням узагальненого закону Фур'є / В. Б. Веселовский, Ю. А. Малая, А. В. Сясєв // Вестник Херсонского национального технического университета. – Херсон, 2009. – С.141-146.
4. Веселовский В. Б. Математическое моделирование импульсных теплотехнологических процессов / В. Б. Веселовский, Ю. А. Малая, К. И. Гнедаш // Металлургическая теплотехника. – Днепропетровск: «ПП Грек О.С.», 2007. – С. 53 – 61.
5. Мала Ю. А. Поверхневе зміцнення металів висококонцентрованими потоками енергії / Ю. А. Мала // Динаміка та міцність машин, будівель, споруд. : Зб. наук. пр. Полт. НТУ. – Полтава, 2009. – С. 192-200.
6. Малая Ю. А. Решение задач про тепловой удар на поверхности неограниченной пластины / Ю. А. Малая, Ю. М. Скотаренко // Диференціальні рівняння та їх застосування. – Дніпропетровськ: Вид. ДНУ, 2003. – С. 141 – 148.